

《自动控制原理》第4章 根轨迹法 课后习题 (P139 ~ P141 New)

4-3 已知单位反馈系统的开环传递函数，试概略绘出相应的根轨迹。

$$(1) G(s) = \frac{K^*(s+2)}{(s+1+j2)(s+1-j2)};$$

解4-3: (1) 系统有2条根轨迹分支，且有一条根轨迹趋于无穷远处。

绘制根轨迹的步骤如下：

1) 实轴上的根轨迹： $(-\infty, -2]$

2) 渐近线：

$$\text{渐近线与实轴交点 } \sigma_a = \frac{\sum_{i=1}^n p_i - \sum_{i=1}^m z_i}{n-m} = \frac{(-1-j2) + (-1+j2) - (-2)}{2-1} = 0$$

$$\text{渐近线与实轴夹角 } \varphi_a = \frac{(2k+1)\pi}{n-m} = (2k+1)\pi \quad (k \in \mathbb{Z}) = \pm 180^\circ$$

即渐近线为实轴；

$$3) \text{ 分离点：由 } \sum_{j=1}^n \frac{1}{d-p_j} = \sum_{i=1}^m \frac{1}{d-z_i}$$

$$\text{则 } \frac{1}{d+1+j2} + \frac{1}{d+1-j2} = \frac{1}{d+2}$$

$$\text{经整理有 } d^2 + 4d - 1 = 0$$

$$\text{故可解得： } d = -2 - \sqrt{5} \approx -4.236 \text{ 或 } d = -2 + \sqrt{5} \approx 0.236 \text{ (舍去)}$$

4) 起始角与终止角：由根轨迹对称性，首先考虑 p_1 出射根轨迹。

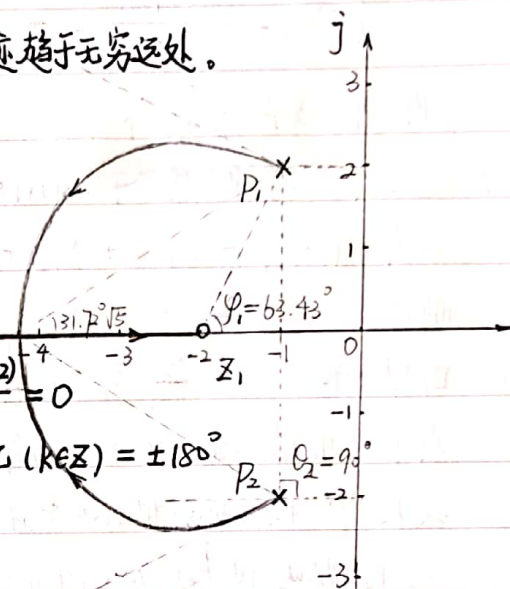
$$\text{① 满足 } \sum_{i=1}^m \varphi_i - \sum_{j=1}^n \theta_j = (2k+1)\pi \quad (k=0, \pm 1, \pm 2, \dots)$$

$$\text{即 } (63.43^\circ) - (0 + 90^\circ) = -180^\circ \text{ 解得起始角为 } \theta_1 = 153.43^\circ$$

② 由系统有2个开环极点，1个开环零点，则实轴以外区域的根轨迹为圆弧，且圆心为开极点。

5) 由根轨迹趋势判断无与虚轴交点，系统始终稳定。

∴ 绘制概略根轨迹图如右图所示。



$$(2) G(s) = \frac{K^*(s+20)}{s(s+10+j10)(s+10-j10)};$$

解: (2) 系统有3条根轨迹分支，且有 $n-m=2$ 条根轨迹趋于无穷远处。

绘制根轨迹的步骤如下：

1) 实轴上的根轨迹： $[-20, 0]$ ，则极点 p_1 的出射根轨迹为 $0 \rightarrow -20$ 实轴上线段；

2) 渐近线:

$$\begin{cases} \sigma_a = \frac{[0 + (-10 - j10) + (-10 + j10)] - (-20)}{3 - 1} = 0 \\ \varphi_a = \frac{(2k+1)\pi}{3-1} = \pm 90^\circ \end{cases}$$

即渐近线为虚轴上下两段;

3) 起始角: 由根轨迹关于实轴对称, 仅对 p_2 极点分析;

$$\text{故有 } (45^\circ) - (135^\circ + \theta_{p_2} + 90^\circ) = -180^\circ$$

$$\text{解得: } \theta_{p_2} = 0^\circ$$

4) 由根之和: $\sum_{i=1}^n \lambda_i = \sum_{i=1}^n p_i \quad (n-m=2 \geq 2)$

则 p_1 出射根轨迹由 $p_1 \rightarrow z_1$ 为有限长度, 向左延伸;

故 p_2, p_3 极点出射根轨迹整体向右延伸, 且趋于虚轴延伸无穷远处。

1. 绘制概略根轨迹如右图所示。

$$(3) \quad G(s)H(s) = \frac{K^*}{s(s^2 + 8s + 20)}$$

解(3): 控制系统开环函数可写为:

$$G(s)H(s) = \frac{K^*}{s(s+4+j2)(s+4-j2)}$$

根据法则, 系统有 3 条根轨迹分支, 且均趋于无穷远处;

绘制根轨迹的步骤如下:

1) 实根上的根轨迹: $(-\infty, 0]$

2) 渐近线:

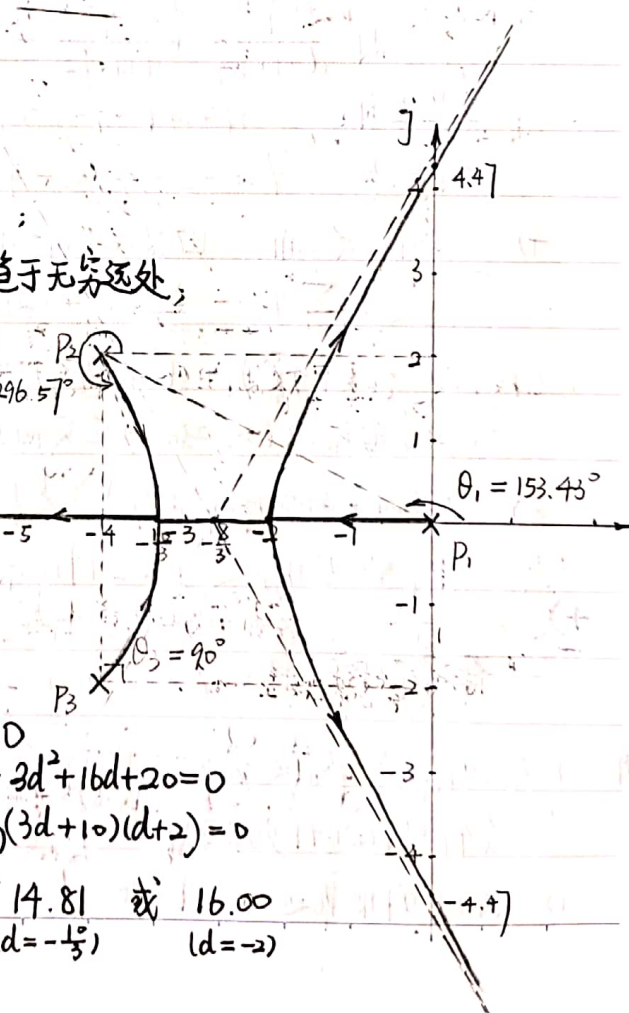
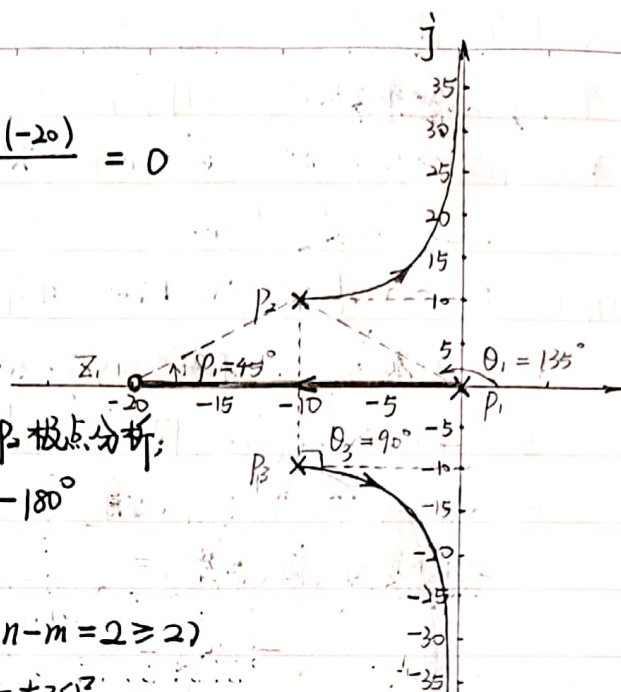
$$\begin{cases} \sigma_a = \frac{0 + (-4 - j2) + (-4 + j2)}{3} = -\frac{8}{3} \\ \varphi_a = \frac{(2k+1)\pi}{3} = \pm 60^\circ, \pm 180^\circ \end{cases}$$

3) 分离点: 列写方程

$$\frac{1}{d} + \frac{1}{d+4+j2} + \frac{1}{d+4-j2} = 0$$

$$\text{故解得: } d = -\frac{10}{3} \text{ 或 } -2 \quad (均满足条件) \Rightarrow 3d^2 + 16d + 20 = 0$$

$$\text{对应有 } K_d^* = |d| |d^2 + 8d + 20| \begin{matrix} d = -\frac{10}{3} & 14.81 \\ d = -2 & 16.00 \end{matrix}$$



4) 虚轴交点:

$$D(s) = s^3 + 8s^2 + 20s + K^* = 0$$

$$\begin{cases} \text{Re}[D(j\omega)] = -8\omega^2 + K^* = 0 \\ \text{Im}[D(j\omega)] = -\omega^3 + 20\omega = 0 \end{cases} \Rightarrow \text{解得: } \begin{cases} \omega = 0 \\ K^* = 0 \end{cases} \text{ 或 } \begin{cases} \omega = \pm\sqrt{20} = \pm 2\sqrt{5} = \pm 4.47 \\ K^* = 8\omega^2 = 160 \end{cases}$$

5) 出射角: 由对称性, 仅对极点 P_3 分析有

$$- [153.43^\circ + \theta_{P_2} + 90^\circ] = (2k+1)\pi \quad (k=0, \pm 1, \pm 2, \dots)$$

$$\text{又 } \theta_{P_2} \in [0^\circ, 360^\circ) \text{ 则有 } \theta_{P_2} = 296.57^\circ$$

作出各特征点线, 绘制根轨迹如上页右图所示。

$$(4) \quad G(s)H(s) = \frac{K^*(s+2)}{s(s+3)(s^2+2s+2)}$$

解(4): 控制系统开环函数可写为:

$$G(s)H(s) = \frac{K^*(s+2)}{s(s+3)(s+1+j1)(s+1-j1)}$$

根据法则, 系统有4条根轨迹分支, 其中 $n-m=3$ 条趋于无穷远处, 绘制根轨迹的步骤如下:

1) 实轴上的根轨迹: $(-\infty, -3], [-2, 0]$

$$2) \text{ 渐近线: } \begin{cases} \sigma_a = \frac{[0 + (-3) + (-1-j1) + (-1+j1)] - (-2)}{4-1} = -1 \\ \varphi_a = \frac{(2k+1)\pi}{4-1} = \pm 60^\circ, \pm 180^\circ \end{cases}$$

3) 出射角: 由根轨迹对称性, 仅对 P_3 出射角分析即可, 有

$$\varphi_1 - (\theta_1 + \theta_2 + \theta_{P_3} + \theta_4) = (2k+1)\pi \quad (k \in \mathbb{Z})$$

$$\text{即 } 45^\circ - (135^\circ + 26.57^\circ + \theta_{P_3} + 90^\circ) = -54^\circ$$

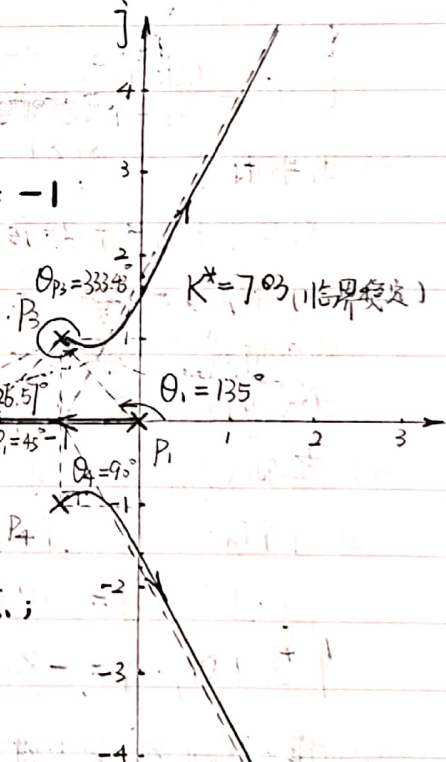
$$\text{解得: } \theta_{P_3} = 333.43^\circ$$

4) 虚轴交点: 由趋势可得 P_3, P_4 出射根轨迹与虚轴有交点; 有闭环特征方程,

$$D(s) = s^4 + 5s^3 + 8s^2 + (K^*+6)s + 2K^* = 0$$

$$\text{令 } \begin{cases} \text{Re}[D(j\omega)] = \omega^4 - 8\omega^2 + 2K^* = 0 \\ \text{Im}[D(j\omega)] = -5\omega^3 + (K^*+6)\omega = 0 \end{cases} \Rightarrow \text{解得: } \begin{cases} \omega = 0 \\ K^* = 0 \end{cases} \text{ 或 } \begin{cases} \omega = \pm\sqrt{1+1/5} = \pm 1.61 \\ K^* = 7.03 \end{cases}$$

作出各特征点线, 绘制根轨迹如右图所示。



4-5 已知控制系统的开环传递函数为

$$G(s)H(s) = \frac{K^*(s+2)}{(s^2+4s+9)^2}$$

试概略绘制系统根轨迹。

解 4-5. 由控制系统的开环传递函数为

$$G(s)H(s) = \frac{K^*(s+2)}{(s+2+\sqrt{5}i)^2(s+2-\sqrt{5}i)^2}$$

根据法则, 系统有 4 条根轨迹分支, 其中有
 $n-m=3$ 条趋向于无穷远处;

绘制根轨迹步骤如下:

1) 实轴上的根轨迹: $(-\infty, -2]$;

2) 渐近线:

$$\begin{cases} \sigma_a = \frac{2 \times (-2-\sqrt{5}i) + 2 \times (-2+\sqrt{5}i) - (-2)}{4-1} = -2 \\ \varphi_a = \frac{(2k+1)\pi}{4-1} = \pm 60^\circ, 180^\circ \end{cases} \quad (k \in \mathbb{Z})$$

3) 出射角:

对应于 $p_{1,2} = -2+\sqrt{5}i$ 的出射角:

$$(90^\circ) - (2\theta_{1,2} + 2 \times 90^\circ) = (2k+1)\pi \quad (k \in \mathbb{Z})$$

则可解得: $\theta_{1,2} = 45^\circ$ 或 225°

由对称性, 对应于 $p_{3,4} = -2-\sqrt{5}i$ 的出射角 $\theta_{3,4} = 135^\circ$ 或 315°

4) 虚轴交点:

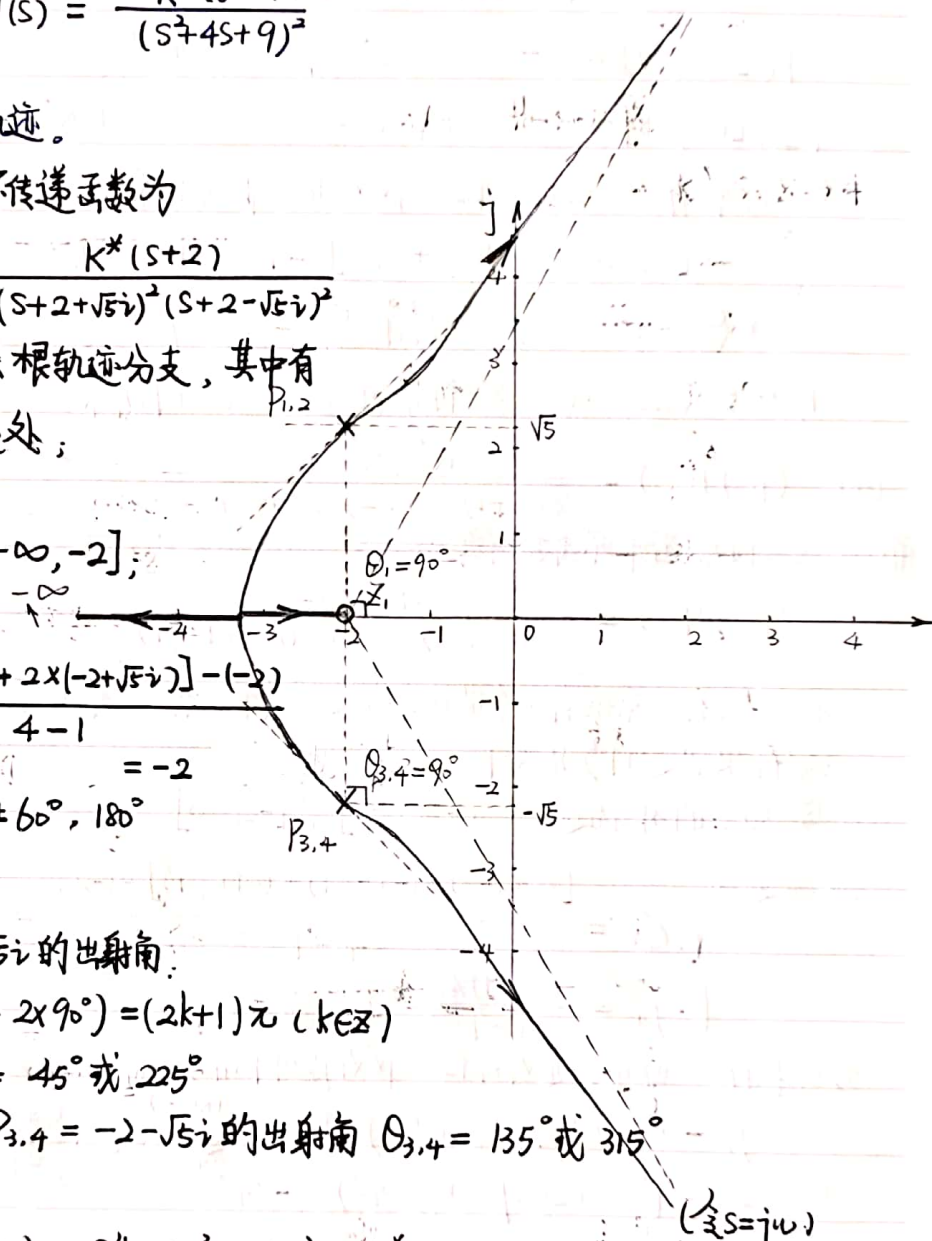
由闭环特征方程: $D(s) = s^4 + 8s^3 + 34s^2 + (K^*+72)s + (2K^*+81) = 0$ (令 $s=j\omega$)

$$\begin{cases} \text{Re}[D(j\omega)] = \omega^4 - 34\omega^2 + (2K^*+81) = 0 \\ \text{Im}[D(j\omega)] = -8\omega^3 + (K^*+72)\omega = 0 \end{cases} \Rightarrow \begin{cases} \omega = 0 \\ K^* = -40.5 \end{cases} \text{ 或 } \begin{cases} \omega = \pm\sqrt{1} \approx \pm 1 \\ K^* = 96 \end{cases}$$

5) 分离点:

$$\text{由 } \frac{2}{d+2+\sqrt{5}i} + \frac{2}{d+2-\sqrt{5}i} = \frac{1}{d+2} \Rightarrow \text{解得: } d = -0.71 \text{ 或 } d = -3.29$$

1. 作特征点线, 绘制根轨迹如右图所示。 (舍去)



4-14 已知系统结构图如图4-26所示，试绘制时间常数 T 变化时系统的根轨迹，并分析参数 T 的变化对系统动态性能的影响。

解4-14：①由原始系统结构图可得：

简化成单位反馈系统情况下的

开环传递函数为

$$G(s) = \frac{\frac{20}{s(Ts+1)}}{1 + \frac{20}{s(Ts+1)}} \cdot \frac{5}{s} = \frac{100}{Ts^3 + s^2 + 20s}$$

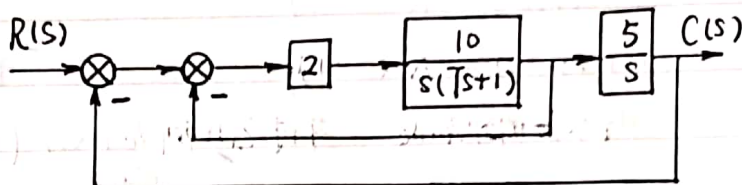


图4-26 题4-14图

则系统闭环传递特征方程为

$$D(s) = Ts^3 + s^2 + 20s + 100 = 0$$

故设 $G^*(s) = \frac{\frac{1}{T}(s^2 + 20s + 100)}{s^3} = \frac{\frac{1}{T}(s+10)^2}{s^3}$ ，令 $K_d = \frac{1}{T}$ ，则当 $T=0 \rightarrow \infty$ 时， $K_d = \infty \rightarrow 0$

∴根据法则，系统共有3条根轨迹，其中 $n-m=1$ 条趋于无穷远处；

绘制根轨迹如右图所示：

1) 实根上的根轨迹： $(-\infty, 0]$ ；

2) 渐近线：
$$\begin{cases} \sigma_a = \frac{(0+0+0) - [(-10)+(-10)]}{3-2} = 20 \\ \varphi_a = \frac{(2k+1)\pi}{3-2} = \pm 180^\circ \end{cases}$$

3) 分离点：由方程 $\Rightarrow T_d = 0.01481$

$$\frac{3}{d} = \frac{2}{d+10} \Rightarrow \text{解得: } d = -30$$

4) 虚轴交点：令 $D(j\omega) = 0$

$$\begin{cases} \text{Re}[D(j\omega)] = -\omega^2 + 100 = 0 \\ \text{Im}[D(j\omega)] = -T\omega^3 + 20\omega = 0 \end{cases}$$

则解得： $\omega = \pm 10$ ， $T = \frac{1}{5}$ ， $K_d = 5$ ；

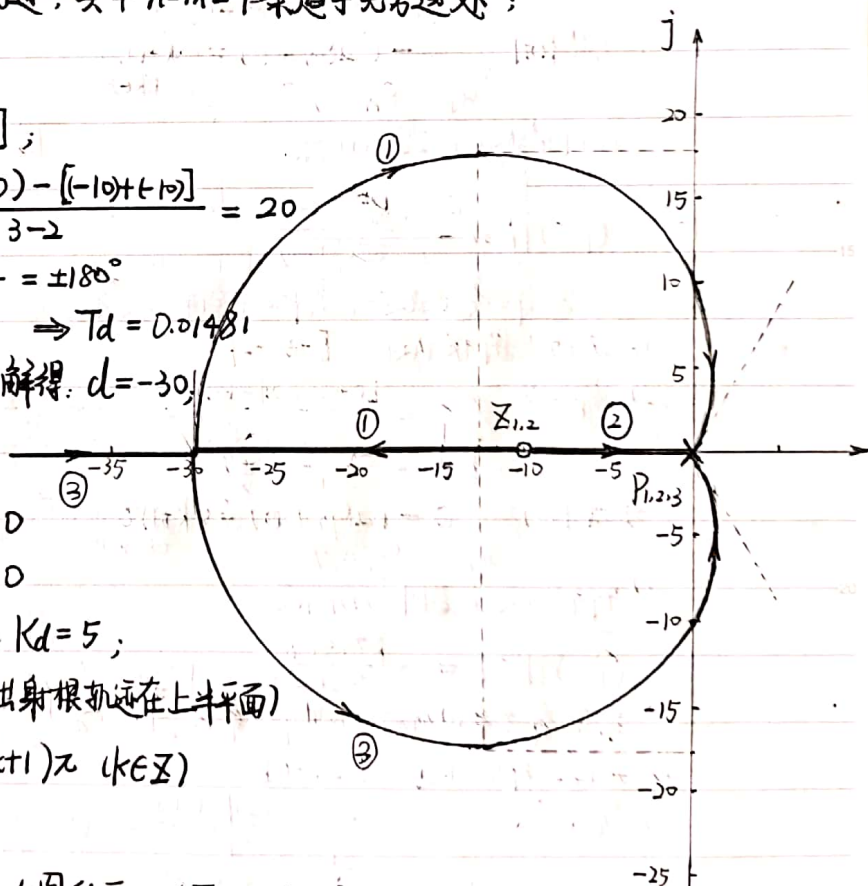
5) 出射点：选择 P_1 极点（设为出射根轨迹在上半平面）

$$(0+0) - (3\theta_{p_1}) = (2k+1)\pi \quad (k \in \mathbb{Z})$$

故解得： $\theta_{p_1} = 60^\circ$

∴作特征点线，绘制根轨迹如右图所示。（ $T=0 \rightarrow \infty$ ）

②由根轨迹图可知：
$$\begin{cases} \text{当 } 0 < T \leq 0.01481 \text{ 时，阶跃响应为单调收敛过程；} \\ \text{当 } 0.01481 < T \leq 0.2 \text{ 时，阶跃响应为振荡收敛过程；} \\ \text{当 } T > 0.2 \text{ 时，系统不稳定，两条根轨迹在右半平面。} \end{cases}$$



B. 讨论零点 $-z_c$ 的取值对系统稳定性的影响: (PD 控制器效果)

满足

- 当 $-z_c < -2$, 即 $z_c > 2$ 时, 系统不稳定;
- 当 $-z_c = -2$, 即 $z_c = 2$ 时, 系统临界稳定;
- 当 $-2 < -z_c \leq 0$, 即 $0 \leq z_c < 2$ 时, 系统稳定;
- 当 $-z_c > 0$, 即 $z_c < 0$ 时, 系统不稳定。

4-16. 某单位反馈系统结构图如图 4-27 所示。试分别绘出控制器传递函数 $G_c(s)$ 为

(1) $G_c(s) = K^*$

(2) $G_c(s) = K^*(s+3)$

(3) $G_c(s) = K^*(s+1)$

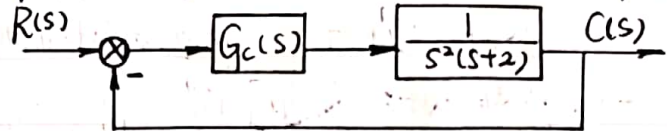


图 4-27 题 4-16 图

时系统的根轨迹, 并讨论比例加微分 (PD) 控制器 $G_c(s) = K^*(s+z_c)$ 中, 零点 $-z_c$ 的取值对系统稳定性的影响。

解 4-16: A. 绘制三种情况下系统的根轨迹。由 $G(s)H(s) = \frac{G_c(s)}{s^2(s+2)}$, 则有

(1) $G(s)H(s) = \frac{K^*}{s^2(s+2)}$; 图(a)

∴ 系统有 3 条根轨迹, 其中 2 条趋于无穷远处;

1) 实轴上的根轨迹: $(-\infty, -2]$;

2) 渐近线: $\begin{cases} \sigma_a = \frac{0+0+(-2)}{3-0} = -\frac{2}{3} \\ \varphi_a = \frac{(2k+1)\pi}{3} = \pm 60^\circ, 180^\circ \end{cases}$

3) 出射角: $0 - (2\theta_{p_1} + 0) = (2k+1)\pi$
则: $\theta_{p_1} = 90^\circ$ ($k \in \mathbb{Z}$)

∴ 绘制根轨迹如右图(a)所示。

图(b)

(2) $G(s)H(s) = \frac{K^*(s+3)}{s^2(s+2)}$;

∴ 系统有 3 条根轨迹, 其中 2 条趋于无穷远处;

1) 实轴上的根轨迹: $[-3, -2]$;

2) 渐近线: $\begin{cases} \sigma_a = \frac{0+0+(-2)-(-3)}{3-1} = 0.5 \\ \varphi_a = \frac{(2k+1)\pi}{3-1} = \pm 90^\circ \end{cases}$

3) 出射角: $0 - (2\theta_{p_1} + 0) = (2k+1)\pi$
则: $\theta_{p_1} = 90^\circ$ ($k \in \mathbb{Z}$)

∴ 绘制根轨迹如右图(b)所示。

图(c)

(3) $G(s)H(s) = \frac{K^*(s+1)}{s^2(s+2)}$;

∴ 系统有 3 条根轨迹, 其中 2 条趋于无穷远处;

1) 实轴上的根轨迹: $[-2, -1]$;

2) 渐近线: $\begin{cases} \sigma_a = \frac{0+0+(-2)-(-1)}{3-1} = -0.5 \\ \varphi_a = \frac{(2k+1)\pi}{3-1} = \pm 90^\circ \end{cases}$

3) 出射角: $0 - (2\theta_{p_1} + 0) = (2k+1)\pi$ ($k \in \mathbb{Z}$)
则: $\theta_{p_1} = 90^\circ$

∴ 绘制根轨迹如右图(c)所示。